

ZnO压敏陶瓷在2ms方波作用下的老化及自增强现象*

Aging and self-enhancement of ZnO voltage-sensitive ceramics and action of 2ms square wave

赵文英¹, 庞驰¹, 费自豪²

¹ 贵州大学材料与冶金学院 贵阳 550003

² 贵阳高新益舸电子有限公司 贵阳 550022

摘要:为了研究ZnO压敏陶瓷在2ms方波作用下的老化规律及自增强现象,采用传统陶瓷制备工艺,制备了有缺陷的ZnO压敏陶瓷,分析老化规律。结果表明:在2ms方波冲击老化过程中,ZnO压敏陶瓷存在自增强现象,改善了电流的在压敏陶瓷上的分布,增加了冲击寿命。同时压敏陶瓷局部的高温与电场力的共同作用,钴、锰、镍、铬等阳离子迁移至ZnO晶粒,形成替位式掺杂,导致ZnO晶粒晶格常数变小,压敏陶瓷的压敏电压升高。

关键词:ZnO压敏陶瓷, 2ms方波, 冲击老化试验, 自增强现象

1 前言

ZnO压敏陶瓷具有优异的非线性特性和能量吸收能力,广泛应用于电器、电子、建筑、通信和军事等领域。ZnO压敏陶瓷在使用过程中受到电应力的作用,性能逐渐劣化,最终失效。我们在2ms方波脉冲老化的过程中发现,用一定电流密度的2ms方波作用压敏电阻,压敏电压迅速升高后进入缓慢上升期,经历较长冲击次数以后,压敏电阻会突然熔穿失效。虽然众多学者从不同的角度对冲击老化过程中的老化规律、动态电阻、电容量等做出了研究^[1~3],但对冲击过程中压敏电压上升还没有合适的解释。为了研究ZnO压敏陶瓷在2ms方波作用过程中的老化规律,作者制备了压敏电阻样品,对其进行2ms方波老化,分析方波电流对压敏电阻老化规律。

2 实验

将ZnO粉料和Bi₂O₃、Co₃O₄、MnO₂、Sb₂O₃、Cr₂O₃等添加剂按配方(摩尔分数):97%ZnO+1%Bi₂O₃+0.5%Co₃O₄+0.5%Sb₂O₃+0.5%MnO₂+0.5%Cr₂O₃准确称量,加入适量的浓度为10%的聚乙烯醇水溶液作粘合剂,搅拌球磨5小时后喷雾造粒。通过在成型模具的上压模制备一个锥形凸台,成型时在陶瓷生坯一侧表面制备出一个圆锥形小坑,将样品缓慢升温至500℃排胶后,在1180℃保

温4小时烧成,在600℃烧渗银电极,制得样品。

压敏陶瓷的缺陷位置及剖面结构如图1所示:用CJ1001型压敏电阻直流参数仪测量样品的压敏电压、漏电流,用GT2ms-500型2ms冲击电流发生器对压敏陶瓷进行电老化,用E5型FLIR热成像仪观察2ms老化冲击过程中的陶瓷片表面的温升,用X'PertPowderX射线衍射仪对样品缺陷位置进行了物相表征。

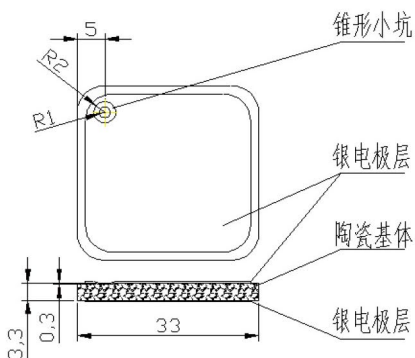


图1 压敏电阻及缺陷示意图

3 结果与讨论

将样品进行2ms方波冲击老化,方波电流为150A,

*国家自然科学基金51562003资助项目

冲击时间间隔为 1 分钟。冲击次数与压敏电压的变化率如图 2 所示。在 2ms 方波冲击老化初期压敏电压迅速上升，在经历 5 次冲击后正极性的压敏电压上升 5.7%，负极性上升 2.9%；20 次冲击后分别为压敏电压上升 7% 和 3.6%；随着冲击次数的增加，压敏电压的上升变慢，1000 次冲击后的压敏电压变化率为 13.3%。另一个极性的压敏电压变化率为 5.8%。样品冲击 1000 次后其压敏电压几乎不再变化，样品在冲击老化过程中漏电流没有变化，但样品在 1500 次~3000 次突然热熔穿，且熔穿前电性能指标都正常。

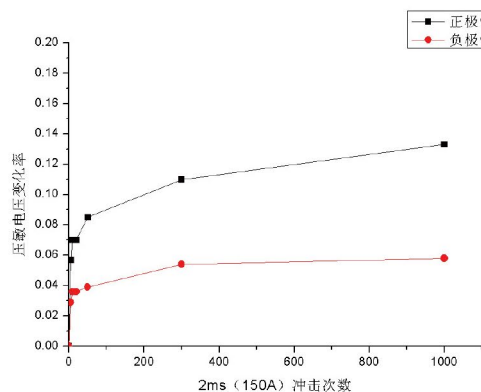
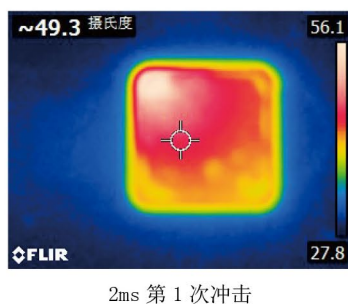
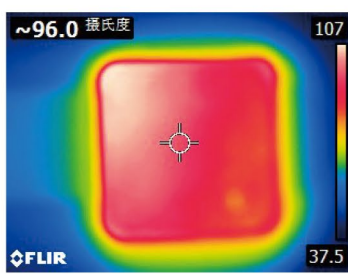


图 2 压敏陶瓷在 2ms 方波冲击后压敏电压变化率

在对样品冲击老化的过程中，用热成像仪观察了 2ms 方波冲击后压敏陶瓷表面的温度分布，从图 3 中可以看出，刚进行 2ms 方波冲击时，样品左上部温升最高，随着 2ms 方波冲击老化的进行，压敏陶瓷的发热趋于均匀。作者认为：



2ms 第 1 次冲击



2ms 第 5 次冲击

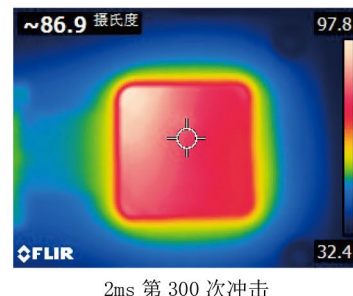


图 3 压敏陶瓷在 2ms 方波冲击后表面温度分布

由于样品左上局部位置存在一个小坑，该处压敏电压最低，导致电流集中，发热量最大，温升也最高。随着 2ms 方波冲击老化的进行，缺陷位置的压敏电压迅速升高，电流不再集中在小坑附近，压敏陶瓷的发热也就趋于均匀。

对不同冲击老化次数的压敏陶瓷缺陷位置进行了 XRD 表征，从图 4 可以看出，经过 2ms 冲击老化后，ZnO 压敏陶瓷中没有新的物相生成，图 4 中 30° 到 40° 之间的衍射峰是主晶相 ZnO 晶粒的衍射峰，为六方晶系结构。5 次冲击老化后看不出衍射峰的偏移，经过 10 次冲击老化后衍射峰往大角度方向偏移，随着老化次数的增加，在经过 50 次冲击老化后，衍射峰进一步往大角度方向偏移，但经过更多次数的冲击老化，衍射峰不再进一步偏移。我们知道，衍射峰往大角度方向偏移，是因为该物相的晶格常数变小导致的。晶格中的填隙粒子迁移到晶界或者比 Zn 离子半径更小的阳离子替代了 Zn 离子的位置，这两种情况都会导致晶格常数的变小。

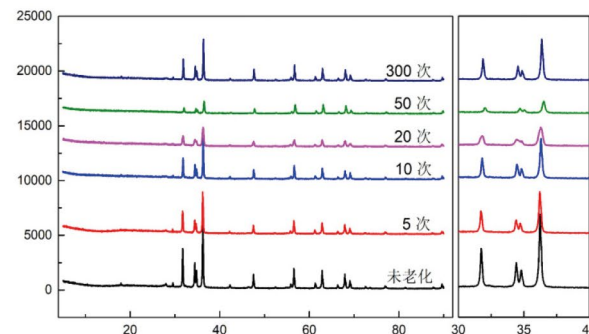


图 4 压敏陶瓷在 2ms 方波不同冲击次数的缺陷位置 XRD 图

如果是填隙粒子迁移到晶界，由晶界势垒高度近似公

式 $\varphi_B = \frac{e^2 N_D x_d^2}{2\epsilon_0 \epsilon_r}$ 可知（式中 N_D 为施主浓度， x_d 为耗

尽层宽度)^[4], 填隙离子迁移到晶界会导致施主浓度降低, 从而降低了势垒高度, 宏观表现为压敏电压的降低, 这与冲击老化过程中压敏电压的升高现象不相符, 可以排除填隙粒子迁移到晶界这种可能。锰、钴、镍、铬等元素都是ZnO压敏陶瓷常规的添加元素, 在晶界中大量存在, 具有形成替位掺杂的物质基础。三价锰、钴、镍、铬的离子半径均小于二价锌的离子半径 (Zn^{2+} 半径是0.074nm、 Mn^{3+} 半径是0.066nm、 Co^{3+} 半径是0.063nm、 Cr^{3+} 半径是0.066nm、 Ni^{3+} 半径是0.062nm), 并且离子半径相差不超过17%, 易于形成替位式掺杂。形成替位后会导致ZnO晶格常数的变小, 高价掺杂增高了势垒高度, 宏观表现为压敏电压的升高, 这正好与冲击老化过程中压敏电压的升高的现象相符合。

冲击老化过程中晶界势垒的变化如图5所示, 在电场作用下, 背靠背肖特基势垒发生变化, 一侧肖特基势垒正偏, 另一侧肖特基势垒反偏, 反偏侧肖特基势垒升高, 电场主要作用在反偏侧的肖特基势垒上面, 反偏侧的肖特基势垒吸收了冲击老化过程中的大部分能量, 晶界局部的温度迅速升高, 局部晶界处于熔融状态。图6是压敏陶瓷经过2ms方波150A冲击老化300次缺陷位置的SEM图, 从图6中可以看出中下部出现熔融后凝固的区域, 冲击老化过程中局部至少有830°C以上的高温, 超过了 Bi_2O_3 的熔点。在电场力的作用下, 钴、锰、镍、铬等阳离子迁移至ZnO晶粒表层(图5中阳离子从ZnO晶粒的左侧进入晶粒表层), 占据Zn格点位置, 形成替位式掺杂。并且由于快速降温, 熔融的晶界迅速凝固, 固溶在ZnO晶粒表面的钴、锰、镍、铬等阳离子来不及析晶, 这种不平衡的状态就保持了下来, 增高了势垒高度, 导致压敏电压的升高。

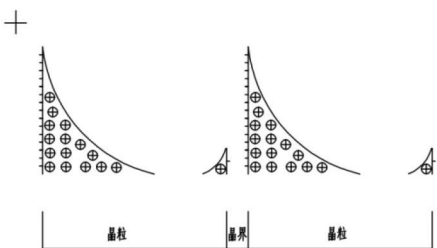


图5 压敏陶瓷在电场作用下晶界势垒变化示意图

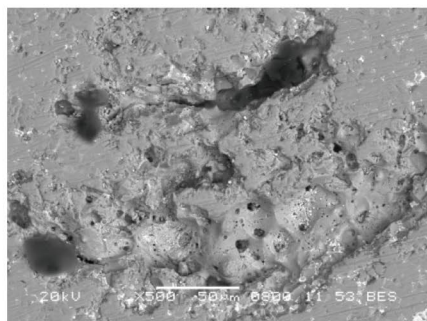


图6 压敏陶瓷2ms方波冲击300次缺陷位置SEM图

4 结论

- (1) 在2ms方波冲击老化过程中, ZnO压敏陶瓷存在自增强现象, 改善了电流的均匀分布, 是增加冲击寿命的主要原因。
- (2) 在2ms方波冲击老化过程中, 压敏陶瓷存在局部的高温, 晶界的局部区域处于熔融状态。
- (3) 在2ms方波冲击老化过程中, 由于钴、锰、镍、铬等阳离子迁移至ZnO晶粒, 占据Zn格点位置, 形成替位式掺杂, 导致ZnO晶粒晶格常数变小, 压敏陶瓷的压敏电压升高。

参考文献

- 1 王星等. 氧化锌压敏电阻在不同电流环境下老化规律研究[J]. 西南大学学报, 2015, 1:175~181
- 2 陈璞阳等. 氧化锌压敏电阻冲击老化过程中电容量变化的分析[J]. 电磁避雷器, 2014, 5: 116~121
- 3 徐乐等. 氧化锌压敏电阻劣化前后动态特性研究[J]. 电磁避雷器, 2014, 4: 132~138
- 4 王振林, 李盛涛. 氧化锌压敏陶瓷制造及应用[M]. 北京: 科学出版社, 2009